

# 旋光谱在有机化学中的应用

黃鳴龍編著

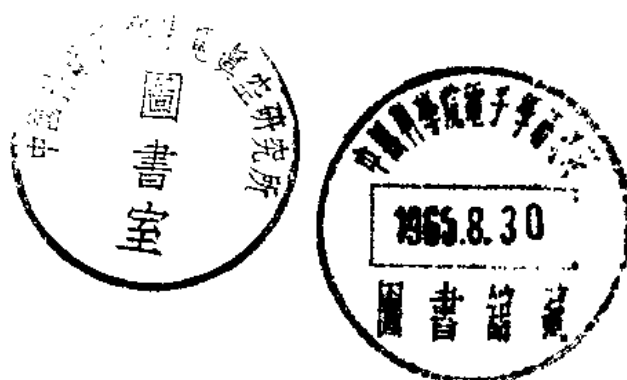


科学出版社出版

54.5.2  
1977

# 旋光譜 在有机化学中的应用

黃鳴龍 編著



上海科学技术出版社

4349

1 31

D604/62

### 內容 提 要

本書介紹旋光譜與有機化合物分子結構的關係。內容首先闡述基本概念，然後着重說明旋光譜對於研究分子結構、分子各基團相互影響及反應動態的重要性，並且舉許多實例以表明旋光譜的應用範圍。

本書可供化學、化工部門的科研人員和大專師生參考。



### 旋 光 譜 在有機化學中的應用

黃鳴龍 編著

由 上海科學技術出版社出版 (上海瑞金二路 450 号)  
上海市書刊出版業營業許可證出 099 号

商務印書館上海印 刷 新華書店上海發行所發行

开本 860×1188 1/32 印張 5 4/32 雜版字數 133,000  
1968 年 5 月第 1 版 1968 年 5 月第 1 次印刷 印數 1—2,900

統一書號 15119·1722 定價(十四) 0.90 元

## 前　　言

本书編寫的內容多數取材于 O. Djerassi 教授近几年來發表的論文及其所著的專書(Optical Rotatory Dispersion—Applications to Organic Ohemistry; 以下簡稱解氏專書)以及 W. Klyne 教授最近發表的有關論文。

书中所舉实例以留体化合物为較多。这是因为留体化合物的构型构象大多早已証实，故科学工作者研究有机化合物結構与其旋光譜的关系时常常取留体化合物作實驗，俾可迅速地作出結論。解氏專書虽名为“旋光譜应用于有机化学”(譯意)，而其中所舉实例也是以留体化合物为最多。本书不但在各节中大多以留体化合物作实例，說明旋光譜对于研究有机化合物分子結構的重要性，并且最后另立一章，按留体結構分門別类地作系統性的說明，使讀者更可深入地具体了解旋光譜的重要性及其应用范围。

旋光譜在蛋白质及多肽化合物的化学上亦有其用途。但由于此类复杂化合物的分子中若干基团是互相交叉、互相迭結的，因而发生立体上的影响且产生若干奇异的构象。我們在这方面的知識尚甚淺薄，所以应用旋光譜作可靠的推論尚非易举，因此本书在蛋白质及多肽化合物的旋光效应方而暫時从略。同时由于本书主要是介紹旋光譜与分子結構关系的問題，因而对旋光譜仪一項亦未加以闡述。书中有若干有机化合物名称直接应用了外文的名詞，这是因为这些化合物尙无中文譯名，或有而不甚通俗，用之反而令人难解，也难于記忆。此外，因編寫及校閱的时间匆促，若干名詞还有不甚統一之处，內容也有混乱及重复之处，凡此都請讀者予以指正批評，至为感幸。

黃鳴龍 1962 年

# 目 录

## 前言

1. 旋光譜的概論 .....	1
1.1 平坦的譜線(Plain Curves) .....	2
1.2 單純的 Cotton 效應譜線(Single Cotton Effect Curves) .....	3
1.3 复合的 Cotton 效應譜線(Multiple Cotton Effect Curves) .....	4
2. 旋光譜的用途 .....	6
2.1 酮基及其他基团的地位及分子的立体构型的測定 .....	6
2.2 鑑定反应的动态 .....	14
2.3 追究构象 .....	16
2.4 絶對构型 .....	20
3. 八区律(Octant Rule) .....	23
3.1 环酮化合物的立体几何 .....	23
3.2 环酮八区的旋光分担 .....	24
3.3 八区律的应用情况 .....	27
4. 旋光振幅数值的規律性及其与分子結構和立体化学上的关系 .....	42
4.1 远隔的取代基对于 Cotton 效應缺乏影响的情况 .....	42
4.2 应用八区律及观察振幅数值来指定結構与构型以及推論离酮基相当远的基团对旋光效应的影响 .....	44
4.3 $\alpha$ -酮醇( $\alpha$ -ketol)在振幅数值变动上的規律性 .....	45
5. 环形五烷酮化合物的旋光效应与分子結構的关系 .....	47
5.1 逆式六氢茚滿-2-酮化合物及其他类似的逆式-2-酮化合物 .....	47
5.2 逆式六氢茚滿-1-酮化合物(包括甾体在内) .....	49
5.3 順式六氢茚滿-2-酮 .....	51
5.4 順式六氢茚滿-1-酮 .....	51
6. 双桥环辛烷酮化合物 .....	53
6.1 双桥环[3, 2, 1]辛烷-2-酮—类化合物 .....	53
6.2 双桥环[3, 2, 1]辛烷-6-酮—类化合物 .....	54
6.3 双桥环[2, 2, 1]辛烷-2-酮—类化合物 .....	56

<b>7. 平坦的旋光體類</b>	58
7.1 双鍵異構体	58
7.2 酸类及其衍生物	60
7.3 旋光性能的表現	62
7.4 单双置換的甾体	63
<b>8. 单环的及链状的羰基化合物</b>	65
8.1 构象易变性	65
8.2 环的大小与旋光效应的关系	65
8.3 链状的羰基化合物	68
8.4 糖类	71
<b>9. 硫酮、硝基烷及其他生色团</b>	72
9.1 硫酮	72
9.2 硝基烷及亚硝酸酯	74
9.3 芳香化合物	76
9.4 $\alpha$ -卤素酸及 $\alpha$ -迭氮酸	77
9.5 双硫及双硒化合物(Diselenides)	77
<b>10. 醇、<math>\alpha</math>-羟基酸</b>	80
10.1 醇的衍生物	80
10.2 $\alpha$ -羟基酸的衍生物(黃原酸酯)	82
<b>11. <math>\alpha</math>-氨基酸</b>	84
11.1 $\alpha$ -氨基酸的双硫代氨基甲酸酯	84
11.2 銅复合体	86
11.3 天然氨基酸的旋光性质	88
<b>12. 各类甾体及少許类似化合物的实例</b>	97
12.1 饱和酮及醛	97
12.2 $\alpha, \beta$ -不饱和酮	115
12.3 双酮甾体	125
12.4 四环三萜类及多甲基化的甾体	127
12.5 $\alpha$ -羟基酮体	132
12.6 $\alpha$ -卤素酮体	134
12.7 卤素取代的 $\alpha, \beta$ -不饱和酮	146
12.8 絶对构型的測定	148
12.9 縮酮形成的測驗	152



## 旋光譜的概論

对于研究有机化合物結構比紅外綫光譜更新的物理方法是測定試体的旋光譜<sup>[1]</sup>。这是利用一种仪器測定試体在紫外光及可見光的範圍內各波長的旋光度，然后将这种各种波長的旋光度按波長列成图譜，便成为旋光譜。

旋光譜是以照光的波長( $m\mu$ )為橫坐标，以比旋(specific rotation)  $\times 10^{-2}$ 為纵坐标，如本书內各图所示。

观察試体的旋光譜，便可按照若干已知的規律，帮助推定分子的結構。其实这种方法早在一百多年前已有人应用，不过因仪器构成不能合格，所以它的应用难以推广。直到近几年来，由于新的精密仪器出現，始有人开始系統地研究分子結構与其旋光譜的关系。C. Djerassi 可以說是首先有系統地研究若干物质，尤其是甾体化合物的旋光譜与分子結構之关系。他常以甾体为研究对象，这是因为甾体化合物的結構(包括构型与构象)大多已經明悉，并且它們的分子結構与其紫外綫吸收光譜的关系几都了解。这許多結果及認識，对于解釋各種旋光譜形态有极大的帮助。我們曉得化合物的旋光性是由于分子中不对称中樞而引起的。如

[1] 英文名为“Optical Rotatory Dispersion”(簡称为 R. D.)，現簡譯之为旋光譜。

果在不对称中樞的邻近有生色团(又称色群 chromophore), 如

$\text{O}=\text{O}$ 、 $\text{N}=\text{O}$  及  $\text{O}=\text{S}$  等等存在, 則这种生色团当然能影响分子的旋光性能, 且使在不同波长区域内的旋光性都受到显著的变更。旋光譜即是根据这种性质而形成。旋光譜上所表示的波长范围是  $250\sim 700\text{ m}\mu$ 。

物质的旋光譜可分为三种形式:

### 1.1 平坦的譜線

(Plain Curves)

若干化合物因其分子中并不含生色团(例如酮基), 在光学上沒有活性吸收綫, 故其旋光譜綫是平坦的。例如 deoxycholic acid, 即  $3\alpha:12\alpha$ -dihydroxy cholanic acid (1) 及甾体皂素骨架  $5\alpha:22\alpha$ -spirostan (2) (图 1.1) 都是如此, 不过 1 的譜綫是正性(positive), 等于右旋性, 2 的譜綫是負性(negative), 等于左旋性。所謂正性,

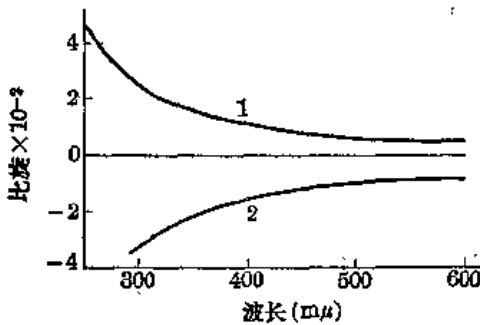
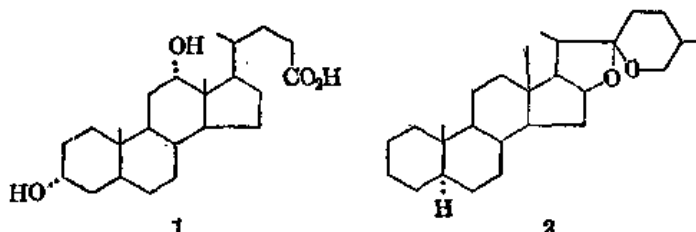


图 1.1

1 为 deoxycholic acid (正性); 2 为  $5\alpha:22\alpha$ -spirostan (負性)



是指譜綫向短波處升高，負性是譜綫向短波處降低（從右至左計算）。它們都無峰尖（peak 又稱 maximum）及山凹（trough 又稱 minimum）。

### 1.2 單純的 Cotton 效應譜綫

(Single Cotton Effect Curves)

如分子中含有生色團，則有異常的旋光譜綫，即有峰尖與山凹。這種異常的譜綫稱之為 Cotton 效應譜綫（參看 Cotton, *Ann. Chim. Phys.*, 1896, 8, 947）。光線經過一個介質，如果向左及向右旋轉的綫有不同的速度，並且被吸收的程度各異，則光線走出介質後，發生旋光作用，引起分光的結果，這種因吸收性不同以及旋轉速度不同所引起的光學現象，稱之為 Cotton 效應（Cotton 是發現這種現象的學者）。如果旋光譜綫只有一個峰尖和一個山凹，則稱

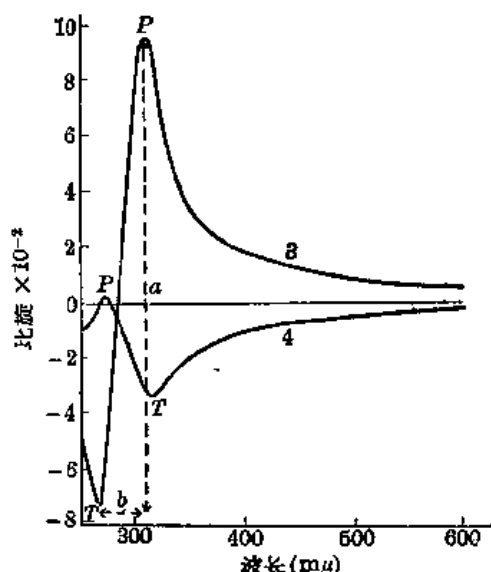


图 1.2

3 为  $5\alpha$ -cholestane-3-one (正性); 4 为  $3\beta$ -acetoxy- $5\alpha$ -cholestane-7-one (负性); a (amplitude, 振幅, P 到 T 的距离); b (breadth, 宽幅); P (peak, 峰尖); T (trough, 山凹)

之为單純的 Cotton 效應譜線(或簡称为 Cotton 譜線)。图 1·2 上 3 的峰尖与其山凹的距离称为振幅 (amplitude, 簡写为 a)，峰尖与山凹之寬度为寬幅 (breadth, 簡写为 b)。

### 1·3 复合的 Cotton 效應譜線

(Multiple Cotton Effect Curves)

如果化合物的旋光譜線有几个峰尖及山凹如图 1·3 所示(睾丸素, testosterone 旋光譜線)，称之为复合 Cotton 效應譜線。

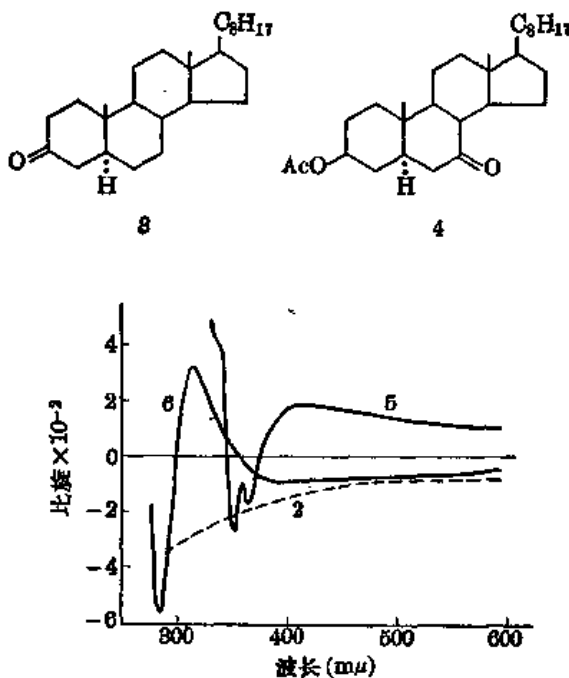


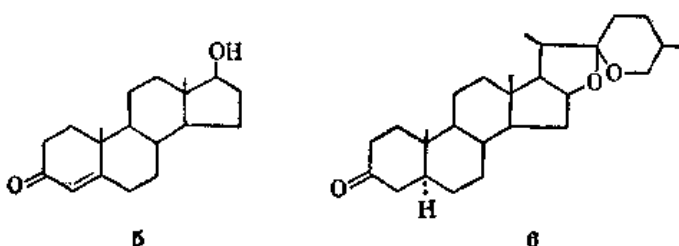
圖 1·3

其中 5 为复合 Cotton 效應譜線

6 为 testosterone (正性); 2 为 3-oxo-5 $\alpha$ :22  $\alpha$ -spirostane (峰尖在正性, 但譜線连接于負性譜線上); 2 为 5 $\alpha$ :22 $\alpha$ -spirostane (是負性的平坦譜線)。

以上是說明三类旋光譜線的形成。現在更以上列三图作例，說明以数字及标记表示旋光譜線的方法。图 1·1 中 1 的旋光譜線

(在甲醇中測定), 可以用下列標記及數字表示, 即  $[\alpha]_{700} + 35^\circ$  (图中



纵坐标上的数字是表示百数);  $[\alpha]_{589} + 50^\circ$ ;  $[\alpha]_{450} + 474^\circ$ 。图 1·2 上 3 的旋光譜綫可用下法表示(这是英国人习用的表示方法, 同上述美国人所用方法不同之处是将  $[\alpha]$  右下的波长数字写在括弧内, 而在  $[\alpha]$  右上加上温度数字),  $[\alpha]^{29\sim31}(700 \text{ m}\mu) + 87^\circ$ ;  $(589) + 55^\circ$ ;  $(307) + 959^\circ$ ;  $(267) - 740^\circ$ ;  $(245) - 362^\circ$ 。图 1·3 上的旋光譜綫仍应用美国人的标记法 [R. D. 在二氧六环 dioxane 中 (C. 0.1)],  $[\alpha]_{700} + 62^\circ$ ;  $[\alpha]_{589} + 103^\circ$ ;  $[\alpha]_{420\sim405} + 180^\circ$  (宽峰尖);  $[\alpha]_{366} - 177^\circ$ ;  $[\alpha]_{360} - 95^\circ$ ;  $[\alpha]_{351} - 282^\circ$ ;  $[\alpha]_{340\sim337} + 390^\circ$ ;  $[\alpha]_{325} + 1339^\circ$ ;  $[\alpha]_{276} + 2935^\circ$ 。

以上說明若干旋光譜的命名以及标记情况。茲再說明应用旋光譜推定有机物结构及构型的概要[参考 O. Djerassi 在美国化学会第十七次有机化学論文会上的报告及其在 *J. Am. Chem. Soc.*, **80**, 3986, 4001(1958) 发表的論文]。

## 旋光譜的用途

### 2·1 酮基及其他基团的地位及分子的立体构型的测定

关于此类的研究工作，C. Djerassi 最初是在甾体范围内进行的，因为此种化合物的分子中含有若干不均等碳素。酮的位置几乎都邻近不均等碳原子，因而地位不同的酮基化合物所现出的旋光譜因受不同的影响易于区别，也就是说酮基的地位易于推定[参考 C. Djerassi 等工作, *J. Am. Chem. Soc.*, **77**, 4350, 4359, 4363 (1955); **78**, 440, 3163, 3761 (1956)]。茲舉例說明如下：

Cholestan-2-one (1) 与 cholestan-4-one (2) 的骨架、边鍊及各个不对称中樞的构型虽都完全相同，但两者之旋光譜則大有差异(参看图 2·1)。1 在正性方面現出 2-keto-5 $\alpha$ -steroid 的特征，2 在負性方面显出 4-keto-5 $\alpha$ -steroid 的特征。我們可以說，除本法以外別无其他物理方法可以看出如此显著的区别。

这种特征并不因非生色团存在而发生变化，以致旋光譜可以利用以測定若干甾体化合物中酮基的地位(其他測定酮基地位的实例參看 12 章，即本书最后一章)。

又甾体上的羟基如能先氧化成酮基的話，則也可以利用旋光譜間接地測定羟基的地位。这又是其他物理方法不及之处。

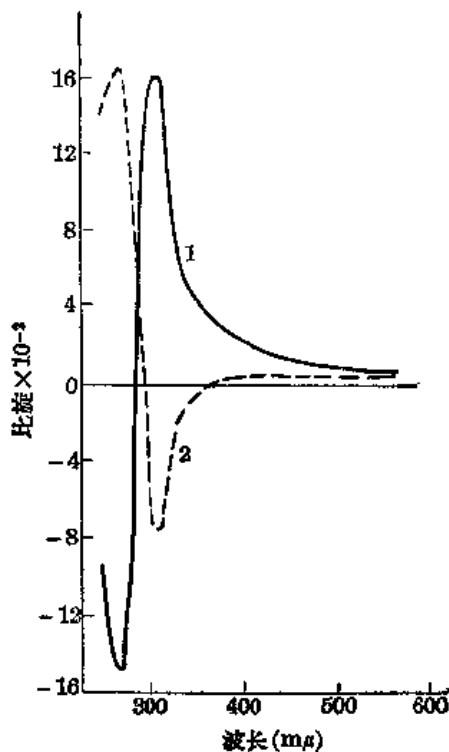
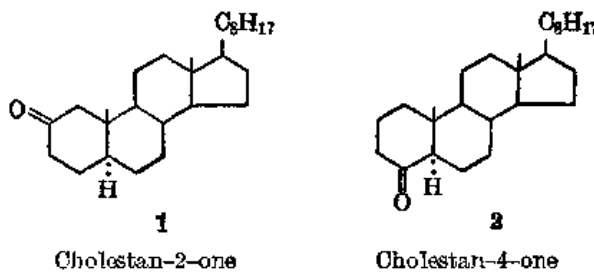


图 2·1  
从 0~16 (正性)  
0~-16 (负性)



又在三萜类化合物上的酮基也可以用本法测定其地位(参看解氏专书)。

从图 2·2 可以看出本法对于立体异构体的灵敏程度。3 及 4 的区别仅在 A/B 环中 C-5 上的构型,而其旋光谱竟有如此显著的区别,3 的旋光谱是 3-keto-5 $\alpha$ -steroid 的特征。4 的旋光谱是

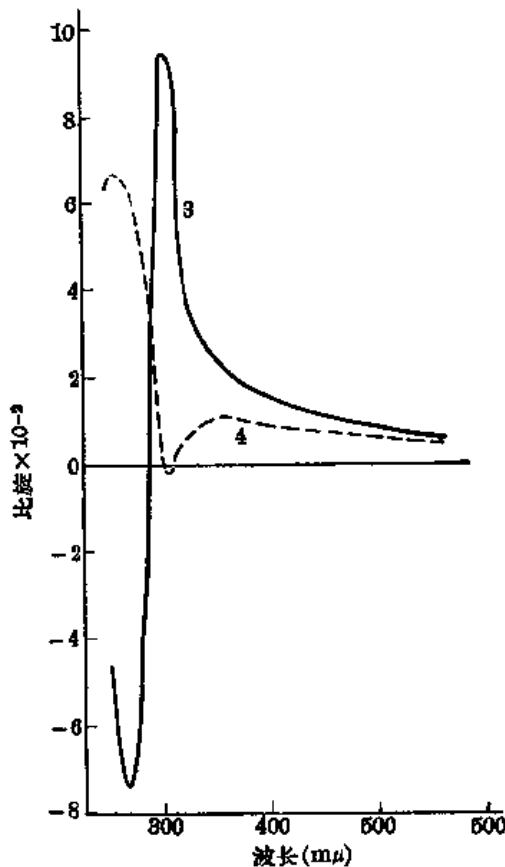
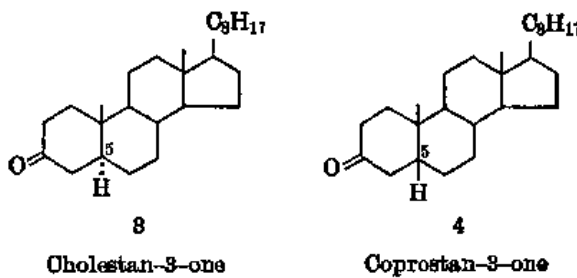


图 2.2



8-keto-5 $\beta$ -steroid 的特征。

又化合物 2 (cholestan-4-one) 与化合物 5 (coprostan-4-one) 也是只有 C-5 处构型不同，而其旋光谱的特征则各异 (图 2.3)。利用旋光谱固然可以测定甾体的酮是否在 C-4，并且也可以测定

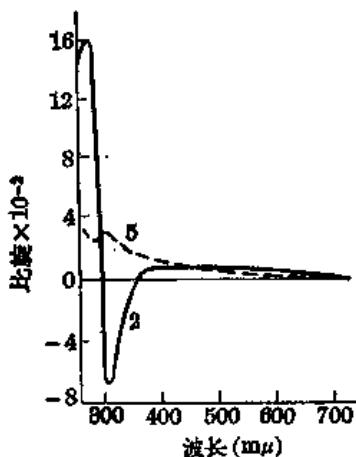
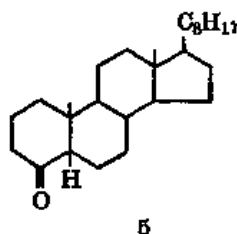


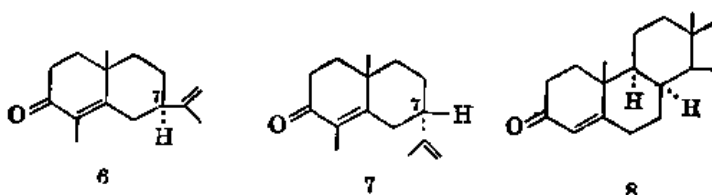
图 2·3



Coprostan-4-one

4 酮甾体的 A/B 环是順式或系逆式，即 C-5 上氫原子或其他原子团是  $\alpha$  或系  $\beta$  构型。

又如山道年一类的萜类化合物  $\alpha$ -莎草酮 ( $\alpha$ -cyperone, 6) 及表  $\alpha$ -莎草酮 (epi- $\alpha$ -cyperone, 7)，虽其结构上的区别极小，仅在 C-7 上异丙烯基构型不同而已，但是它们的旋光谱形态大不相同。6 的旋光谱形态与  $\Delta^4$ -3-keto 的甾体旋光谱极相近似(参看图 1·3)；至若坚键的 (axial) 异构体 (7)，即其 C-7 上的异丙烯基是坚键



的,則與 8-iso- $\Delta^4$ -3-keto 留體 (8) (此种化合物的 B 或 C 環應成船形而存在) 具有相似的旋光譜形態,因此我們可以假定 7 中送進一個堅鍵取代基,能使其 B 環局部或全部變為船形。

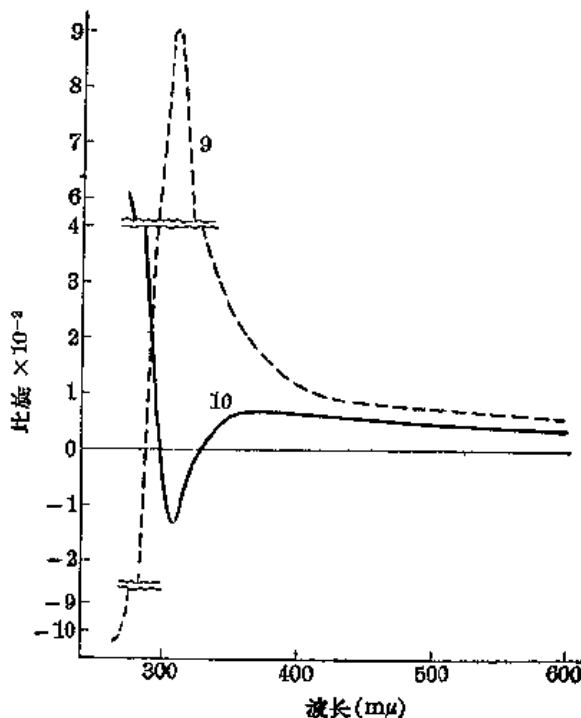
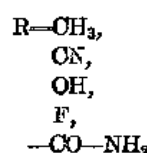
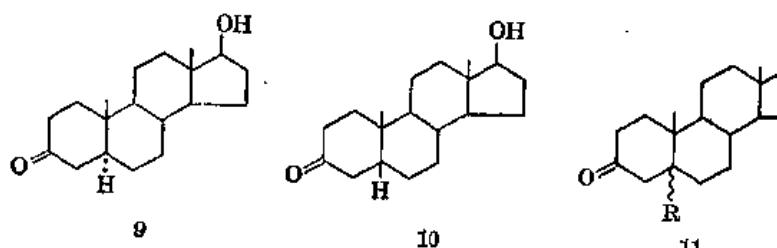


图 2.4



观图 2·4 中化合物 9 及 10 的旋光谱与上述化合物 3 及 4 的旋光谱几相同，因此可知这种特征并不因分子中具有其他结构上的差别而发生变化，甚至在 C-5 处将氢原子换成其他基团如 11 所示，也并不因此而变动旋光谱的特征。故利用旋光谱可以测定甾体 A/B 环的立体结构，这又是其他物理方法不及之处。

假如酮基是在一个能变动构型的不对称中樞的邻位(图 2·5)，

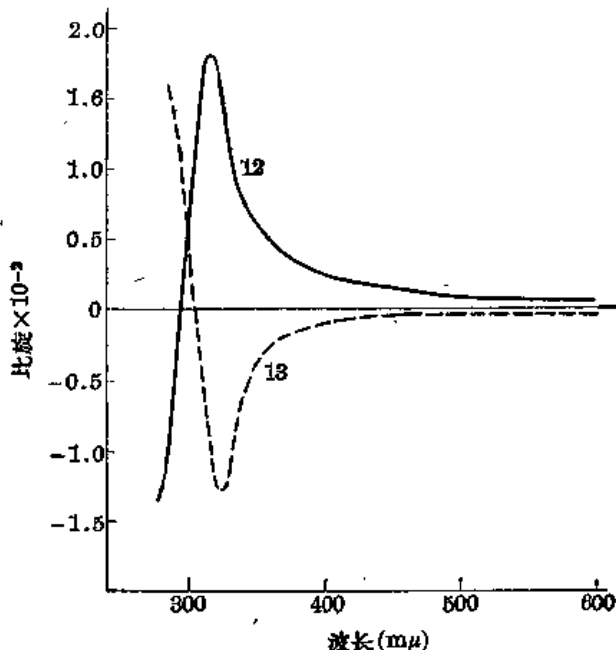
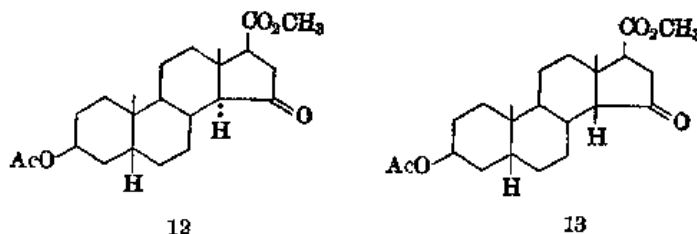


图 2·5



则利用旋光谱不但能鉴定酮的地位及酮基邻位的构型，并且可探悉构型转变的动力学情况。化合物 12 与 13 在钠光下 ( $589 \text{ m}\mu$ ) 的比旋差仅有  $80^\circ$ ，而在  $320 \text{ m}\mu$  的差数则为  $3000^\circ$ ，利用如